Տեխնիկական գիտութ. սերիա

XVIII, № 6, 1965

Серия технических наук

ГИДРОТЕХНИКА

CEMEHOB B. B., SPYTSH B. K.

НССЛЕДОВАНИЕ УСТОЙЧИВОСТИ СИСТЕМ РЕГУЛИРОВАНИЯ ГИДРОТУРБИИ ЧАСТОТНЫМИ МЕТОДАМИ

Анализ влияния отдельных параметров, характеризующих гидротурбину и регулятор, на вроцеее регулирования скорости гидротурбины представляет собой весьма трудную задачу, требующую индивидуального подхода в каждом конкретном случае. Трудность задачи объясняется но-первых, тем, что в процессе регулирования значительную роль играют как сосредоточенные параметры гидротурбины и регулятора, так и распределение параметра напорного трубопровода; во-вторых тем, что пекоторые из уравнений, характеризующих рабочие узлы ГЭС, представляют собой нелинейные дифференциальные уравнения. Поэтому такие эффективные методы теории автоматического регулирования как D-разбиение, оказываются удовлетворительными только в простейших случаях. По даже исследование устойчивости в простейших случаях само по себе уже является весьма сложной задачей с математической точки зрения.

Исследования Г. В. Ароновича [1] для устойчивости стационарных режимов некоторых эпергоустановок в целом, показали, что существуют условия, когда устойчивость определяется сложным взаимодействием отдельных параметров в системе.

В настоящей работе делается попытка указать способ исследования не только устойчивости, но и качества процесса регулирования с учетом влияния распределенных параметров трубопровода.

Рассматривается следующая система уравнений гидровгрегата [2]

$$(T_{a}p + 1) \varphi = a_{1}a + c_{a}h,$$

$$= -\varphi.$$

$$T_{s}p\mu = \sigma.$$

$$(T_{1}p - 1) \gamma = 0$$

$$\sigma = \eta - \gamma,$$

$$\mu = a_{1}q + a_{4}h,$$

$$h - cq th$$

$$(1)$$

где *p* — оператор дифференцирования по времени; — отк лонение скорости вращения: ф — отклонение регулятора;

h =налор:

¬ воздействие чувствительного элемента;

смещение золотника сервомотора;

воздействие изодромного устройства;

q — расход турбины;

время запаздывання гидравлического удара;

 і, р — коэффициенты перавномерности, жесткой обратной связи и ударной волны соответственно;

 T_a, T_a, T_t постоянные времени агрегата, сервомотора и изодрома соответственно;

 а₁ а₄ — коэффициенты, характеризующие стационарный процесс системы.

Структурная схема этой системы показана на рис. 1, где передаточные функции обозначены:

$$W_a = \frac{1}{T_{ap} + 1}, \quad W_s = \frac{1}{T_{ap}},$$

$$W_{1,y} = -\frac{1}{2}, \quad W_s = \frac{1}{T_{ap} + 1}.$$

Исходя из системы уравнений (1), петрудно показать, что общие условия се движения характеризуются квазиполиномом:

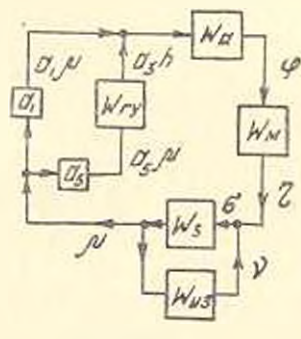


Рис. 1

$$((T_{a}p+1) | T_{s}p | (T_{1}p+1)+3T_{1}p+1 | s+a_{1} (T_{1}p+1) \} a_{3} + h \frac{p\pi}{2} = -\{(T_{a}p+1) | T_{s}p(T_{1}p+1)+3T_{1}p+i | 2a_{4} + (T_{1}p+1) | (a_{3}a_{4}+a_{4}) \} p + h \frac{p\pi}{2}$$

$$(2)$$

Известно, что необходимым условием устойчивости решений характеристического квазиполинома является отрицательность действительных частей всех его корией. Для определения корией квазинолином (2) представим в следующем виде:

$$|L_1(p) + a_1 L_2(p)| |a_3 \operatorname{ch} \frac{p_7}{2}| = |L_1(p) a_4 + L_2(p) (a_1 a_4 - a_2)| \operatorname{psh} \frac{p_7}{2} = 0,$$
(3)

где

$$L_1(p) = (T_a P + 1) |T_s p| (T_t p + 1) + 3T_t p + \bar{t} |\bar{b};$$
 (1)

$$L_2(p) = T_1 p + 1.$$
 (5)

Для нахождення корней характеристического квазинолинома применим амплитулно-фазовый метол и метод D-разбиений.

При применении амилитудно-фазового метода к квазиполиному, соответствующему уравнению гретьего порядка с запаздывающим ар-

гументом с одним запаздыванием, можно несколько упростить исследование, если вместо уравнения (3) рассмотреть уравнение

$$\frac{a_3 | L_1(p) - a_1 L_1(p)}{L_1(p) - L_1(p) (a_1 a_1 + a_2)} = \rho t h \frac{p^2}{2}, \tag{6}$$

для которого выражение ямплитудио-фазовой характеристики получит вид:

$$L^*(j\omega) = \text{org} \frac{\omega^2}{2},\tag{7}$$

где

$$L^*(j\omega) = -\frac{a_1 L_1(j\omega) - a_1 L_2(j\omega)}{L_1(j\omega) a_4 + L_2(j\omega) (a_1 a_3 - a_2)} j.$$
 (8)

Для построения амилитудно-фазовой характеристики целесообразно выражение (8) видоизменить и написать в такой форме:

$$L_{1}(i\omega) = \frac{L_{2}(j\omega)}{L_{2}(j\omega)} = \frac{L^{*}(j\omega)(a_{1}a_{4} + a_{2}) + a_{1}a_{3}j}{L^{*}(j\omega)a_{4} + a_{3}j}$$
(9)

Учитывая уравнение (7), получим:

$$L(I\omega) = -\frac{\rho \lg \frac{\omega_1}{2} (a_1 a_2 + a_2) + a_1 a_2}{\rho \lg \frac{\omega_2}{2} \cdot a_1 + a_2}.$$
 (10)

Нетрудно убедиться в том, что правая часть выражения (10) удовлетворяет уравнению окружности с центром

$$A = -\frac{L * (0) (a_1 a_4 + a_3) + a_1 a_3 I}{L * (0) a_4 + a_3 I} = -a_1$$

и радиусом

$$R = \left| -\frac{L^*(\infty)(a_1a_4 + a_2) + a_1a_3/}{L^*(\infty)a_4 + a_3/} \right| = \left| -\frac{o(a_1a_4 + a_3) + a_1a_3/}{a_2a_4 + a_3/} \right|$$

Отметим, что в исследуемых нами режимах работы динамический коэффициент $a_1 \to 1$ и, согласно этому, на рис. 2 построенны амплитудно-фазовые характеристики левой и правой части уравнения (10).

Вектор L (70) при $0 \le \infty < \infty$ поворачивается в целом на угол

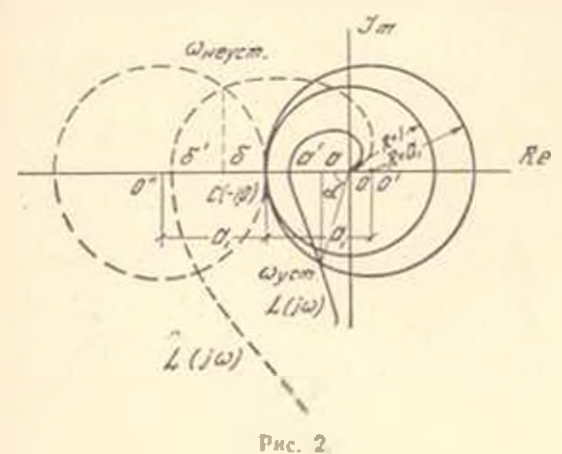
$$\varphi = (n - n_1) - \frac{\pi}{2} = \frac{3\pi}{2} |\text{cm. yp. (4) ii (5)}|.$$

Амилитудно-фазоная характеристика правой части уравнения (10) представлена в лвух нарпантах:

- 1) если $A \le 0$, то при $\infty \le -\frac{1}{4} \infty$ амилитудно-фазовая характеристика выделена силошной линией окружности;
 - 2) если А>0 пунктирной линией окружности.

Отметим, что начальная точка окружности (точка 0') соответствует корню характеристического квазиволинома гидротурбины, ког-6300

да волновые процессы в напорном трубопроводе отсутствуют ($h = \infty 0$), и в этом частном случие начало координат совпадает с центром окружности (00 = 0). Очевидно, что для отыскания решения харак-



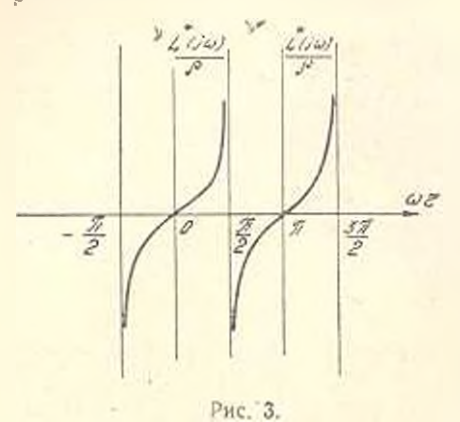
теристического кназиполинома, необходимо определить точки пересечения кривой L (I^{ω}) с окружностью. На рис. 2 видно, что при A 0 решении уравнения (10) устойчивы при любом $\tau>0$, если абсинсся точки пересечения кривой L (I^{ω}) с вещественной осью (точка a') не охнатывает критической точки (-1,0). Это значит, что все нули квазиполинома (2) расположены в левой полуплоскости (Rep<0). Петрудно видеть, что при A>0 система неустойчива в силу того, что характеристики подходит к критической точке слева при любом τ (точка δ'). Отметим, что запас устойчивости системы булет меняться с изменением пеличины запаздывания. В данном случае запас устойчивости по модулю равен ac, а по фазе — a. Таким образом, главную роль при исследовании устойчивости системы играет расположение ралиусов—векторов кривой L (I^{∞}) и окружности и расположение точек пересечения этих кривых.

С целью построения влияния запаздывания на устойчивость системы перейдем к исследованию областей асимптотической устойчивости квазиполинома. Для выяснения того, как изменяется число корией с отрицательной вещественной частью при переходе через границу D-разбиения и плоскости т, найдем решения характеристического квазиполинома, которые, очевидно, должны удовлетворять следующим условиям:

$$\lg \frac{\pi}{2} = 0, \ \frac{1}{\rho} L^{\circ} (jw) = 0;$$

$$J_{m} \frac{1}{\rho} L^{\circ} (jw) = 0.$$

Первое условие приводит к бесконечному множеству прямых L* (/w) при значениях
2 ти 28 в кривым ід $\frac{\omega^*}{2} = \frac{1}{\rho} L^+(f\omega)$, для которых при $\omega = \omega$ функция $\frac{1}{\rho} L^*(f\omega)$ принимает только вещественные значения (рис. 3).



В силу (7) и учитывая что $\frac{L}{L} \frac{(Jw)}{J} = -\frac{1}{2} \ln \frac{1 - J \frac{L}{L} \frac{(Jw)}{J}}{1 - J \frac{L}{L} \frac{(Jw)}{L}}$

легко убедиться, что выражение (7), можно представить в общи виде:

$$\tau(\omega) = -\frac{i}{\ell} \frac{R_1(\omega) + jN_1(\omega)}{R_2(\omega) + jN_2(\omega)} = -\frac{j}{\omega} \frac{R(j\omega)}{N(j\omega)}$$

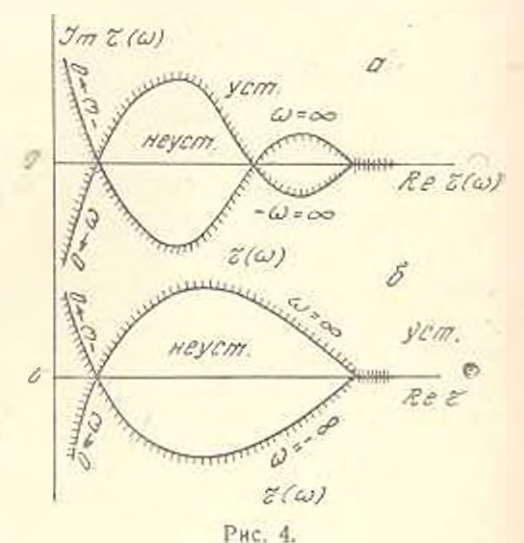
где $R\left(f_{0}\right)$ и $N\left(f_{0}\right)$ являются полиномами одинакового порядка.

Очевидно, что при изменении $0 \ll \omega < \infty$ функция τ (ω) может:

- а) переходить через вещественную ось n ($n \le 3$) раз так, чтобы разность между числами положительных и отрицательных переходов равнялась пулю;
 - б) авернодически стремится к вещественной оси.

Задавая значения ω от $-\infty$ до $+\infty$, найдем соответствующие значения π . Граница D-разбиения представлена на рис. 4.

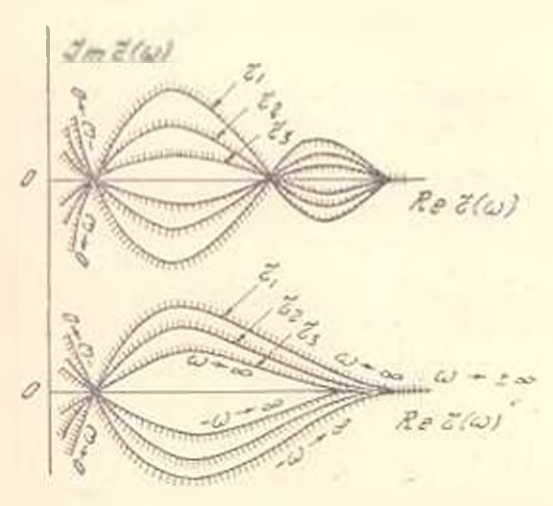
Для того, чтобы выясинть какая из областей, выделенных полученной кривой. будет областью устойчивости, обратимся к амилитудно-фазовой характеристике на рис. 2. Если амилитудно-фазовая характеристика пересекает вещественную ось внутря окружности (точка а, рис. 2), т. е., если системи устойчива в точке $\omega = \omega_L$, то пря из-Menennin $0 \omega < \infty$ (< ∞ 0) и сторону возрастания (рис. 4) мы пересекаем в соответствующей точке кривую D-разбиения соответ-



ственно с не интрахования зав шерихованной сторены.

Если же вмилитудно-фазовая характеристика пересекает нещественную ось вне окружности (точка б. рис. 2), т. е., если система исустойчива в точке $\omega = \omega_\ell$, то при изменении $0 \cdot \omega < \infty$ ($-\infty < 0$) в сторону возрастания (рис. 4) пересекаем в точке кривую $\tau(\omega)$ [$\tau(-\omega)$] соответственно заштрихованной или незаштрихованной стороны. Таким образом, в область неустойчивости иходят только отрезки исщественной оси, которые лежат вне зоны, окаймлениой штриховкой.

Отметим, что при фиксированиом значении ω чем больше τ , тем больше крутизна кривой D-разбиения в илоскости τ (ω) и, следовательно, тем меньше область устойчивости. Leли $\tau_1 > \tau_2 > \tau_3$, то имеет место случай изображенный на рис. 5.



PKC. 5.

Точное построение области устойчивости в случае числениего задания параметров легко производится по точкам.

Итак, несмотря на значительную сложность задачи, предлагаемым способом удается построить качественные области устойчиности системы для выявления влияния запаздывания и тем самым исследонять влияние гидравлического удара на устойчиность работы гидротурбины.

Вичисантельный центр АН Арминской ССР

Поступила 7.V11.1965

d. d. ubdanind, d. h. ernesaur

ՀԻԳԻՈՏՈՒՐԻՆՆՖԵՒ ԿԱՐԴԱՎՈՒՄԱՆ ՍԵՍՏԵՄ ԽԵՐ ԿԱՅՈՒՆՈՒԹՅԱՆ ՀԵՏԱԶՈՏՈՒԹՅՈՒՆԸ - ԱԽԱՆԱԾ ՄԵԹՈՒՆԵՐՈՎ

Uniformitated

ոտ կարգա ան ժամանակ մեծ նրանակուբան ունի կան վրա սիստոնի հարերի և դրերի ազդեցությունը։ Հետազոտությունը իրենից բավականաչափ կարևոր ինդիր է ներկայացնում, որովմետն տարբեր պարաժետրեր յուրօրինակ աղդեցություն են թողնում սիստեմի կայունության վրա։ Պրակտիկայում առանձնապես մեծ նետաքրքրություն է ներկայացնում հիղոտուրբինների կարգավորման ժամանակ տարածական պարաժետրերի ազդեցությունը, Այս աշիստանում, օգտագործելով սիստեմի աժոյքիտուդա-ֆոզային բնութադերը, թույց են արված հայտնի կվագիպոլինոմի կայունության և անկայունության արայմանները։ Ապացուցված են ասիմպտոտիկ կայունության տիրույթները, իսկ այնուհետև ցույց է տրված դինամիկ կայունության վրա հիղոտվլիկական հարվածի ֆաղայի ազդեցությունը։

ЛИТЕРАТУРА

- Аронович Г. В. О влиянии тидраванческого удара на устойчивость регулирования нодных турбин, жури. "Автоматика и телемеханика", т. IX—3. Изд. АН СССР-1948.
- 2. Кривченко Г. И. Автоматическое регузирование гидрогурбии, М., 1984.
- Египларов И. В. Залачи научных исследований по изучению режимов работы гизроэнергогистем и их апточатического регулирования, "Изп. АН АриС СР-№ 11, 1953.
- 4. Брутин В. К., Семенов В. В. Методика определения динамических характеристик, отдельных узлон ГЭС. Труды ИЭМ (находится в пичати).